MAPA GEOLOGICO DE ESPAÑA
E. 1:50.000

INSTITUTO GEOLOGICO Y MINERO DE ESPAÑA

PUENTEAREAS

224
5-11

LEYENDA DEL MAPA DE MUESTRAS

- Punto toma de muestra
- Fotografía puntual
- Fotografía panorámica y ángulo abarcado

Estaciones del 1 al 100 especialista R.N.
" " 200 al 601 " S.N.

CUATERNARIO	Q	1 Q	Depósitos detríticos, aluviales, coluviales
PRECAMBRICO-ORDOVICICO	PC-O	2 PC-O 3 ξ_A	Esquistos, micaesquistos y paragneis Anfibolitas y rocas calcosilicatadas

ROCAS METAMORFICAS

4 λ^2 Gneis glandular

ROCAS MIGMATITICAS

5 ψ^2 Micaesquistos, gneis y granitos inhomogéneos migmatíticos

ROCAS IGNEAS

GRANITOS DE AFINIDAD ALCALINA

6 γ^2_{3-4} Granito esquirnatoide de grano medio o fino

7 γ^2_{2-3} Granito inhomogéneo de grano medio o grueso

8 γ^2_{2} Granito de grano grueso con grandes biotitas (tipo de mesa?)

9 γ^2_{2} Granito de grano grueso con algunos megacristales

10 γ^2_{m} Granito ophítico moscovítico

GRANITOS DE AFINIDAD CALCOALCALINA

(a) Serie precoz

11 $\gamma\eta^2$ Microcuarzodioritas

12 $\gamma\text{-}\eta^2$ Granodiorita con megacristales de feldespato potásico

(b) Serie tardía

13 $\gamma^{2,3}_{1}$ $\gamma\eta^{2,3}$ Granodiorita y granito biotítico-anfibólicos, facies de grano grueso

14 $\gamma^{2,3}_{2}$ $\gamma\eta^{2,3}$ $\gamma\eta^{2,3}$ Granodiorita y granito biotítico-anfibólicos, facies de grano medio o fino

15 $\gamma^{2,3}_{1}$ Granito hiperfeldespático de grano grueso

ROCAS FILONIANAS

16 Fα Diques ácidos

17 FO Diques de pórfido

18 Fη Diques de diorita

SIGNOS CONVENCIONALES

- CONTACTO DISCORDANTE
- CONTACTO MECANICO Y/O INTRUSIVO
- CONTACTO DIFUSO ENTRE ROCAS IGNEAS
- ESQUISTOSIDAD DE FASE I, DIRECCION Y BUZAMIENTO
- ESQUISTOSIDAD DE FASE I, SUBVERTICAL
- ESQUISTOSIDAD DE FASE II, SUBVERTICAL
- FOLIACION MAGMATICA PRIMARIA, DIRECCION Y BUZAMIENTO
- FOLIACION MAGMATICA PRIMARIA, SUBHORIZONTAL
- FOLIACION MAGMATICA PRIMARIA, SUBVERTICAL
- FOLIACION CATACLASTICA DE FASE II, DIRECCION Y BUZAMIENTO
- FOLIACION CATACLASTICA DE FASE II, SUBVERTICAL
- FRACTURA
- FRACTURA SUPUESTA
- FALLA CON INDICACION DE CORRIMIENTO
- LINEACION DE INTERSECCION L_{I-II}, DIRECCION E INCLINACION
- LINEACION DE INTERSECCION L_{I-II}, SUBHORIZONTALES
- CRITERIO DE POLARIDAD EN MICROPLIEGUES DE FASE II
- LINEACION DE MICAS EN ROCAS IGNEAS
- LINEACION DE FELDESPATOS EN ROCAS IGNEAS
- DIQUES O CAPAS DE PEQUEÑA POTENCIA
- METAMORFISMO DE CONTACTO
- MANANTIAL
- CANTERA

PUENTECALDELAS (186)

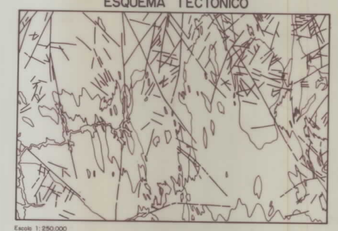
SALVATIERRA DE MIÑO (2621)

Escala 1:50.000

Las altitudes se refieren al nivel medio del Mediterráneo en Alicante
Cuadrícula Lambert—Equidistancia de las curvas de nivel 20 metros
Proyección U.T.M.—Elipsoide Internacional

NORMAS, DIRECCION Y SUPERVISION DEL IGME. Autor: GEOTEHIC, S.A. RIVERA NAVARRO, S. RUBIO NAVAS, J.
Asesor: CORRETGE L.G. Univ. Salamanca

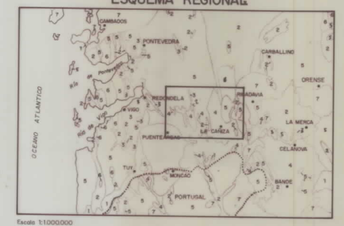
ESQUEMA TECTONICO



Escala 1:250.000

- Depósitos recientes
- Rocas metasedimentarias
- Gneises glandulares
- Rocas migmatíticas
- SERIE ALCALINA: Granitos de dos micas
- SERIE CALCOALCALINA: Microcuarzodioritas
- Granodiorito precoz de Avión
- Granodioritas tardías

ESQUEMA REGIONAL



Escala 1:1000.000

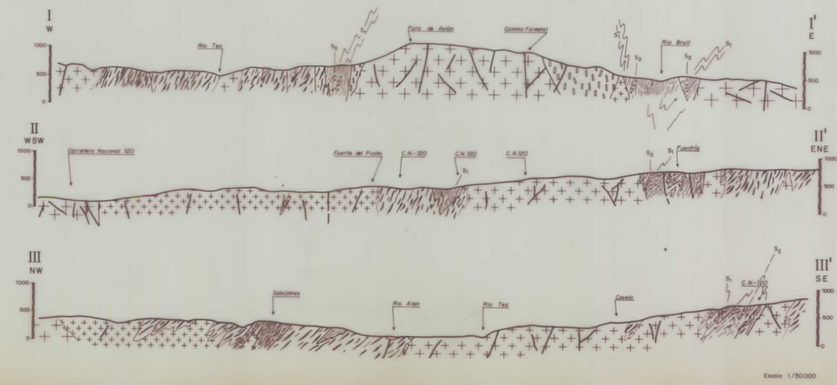
1 Depósitos recientes (Terciario y Cuaternario)
2 Rocas metasedimentarias
3 Ortogneises
4 Rocas migmatíticas
5 Granito de dos micas (Serie alcalina)
6 Granodioritas precoces (Serie Calcoalcalina)
7 Granodioritas tardías (Serie calcoalcalina)

COMPOSICION QUIMICA DE LAS PRINCIPALES FORMACIONES

FACIES	R. METAMORFICAS		R.MIGMAT.	R. IGNEAS													
	PC-O	λ^2	ψ^2	γ^2_{3-4}	γ^2_{2-3}	γ^2_{2}	γ^2_{2}		γ^2_{m}		$\gamma\eta^2_{a}$		$\gamma\text{-}\eta^2$		$\gamma\eta^{2,3}_{2}$		Fη
Nº de muestras	3		1	7		8		1	2		2		4		3		1
	x	s	x	x	s	x	s		x	s	x	s	x	s	x	s	
SiO_2	60,35	1,36	72,95	68,37	3,13	73,59	0,72	72,85	0,69	71,69	73,66	0,52	74,16	0,47	62,11	1,24	70,35	1,09	71,13	1,55	58,72
TiO_2	1,14	0,05	0,30	0,73	0,29	0,21	0,13	0,24	0,06	0,33	0,32	0,11	0,11	0,04	1,14	0,23	0,46	0,10	0,29	0,12	0,96
Al_2O_3	20,05	0,64	14,19	16,27	1,51	14,30	0,64	14,35	0,62	15,16	13,23	0,63	14,55	0,11	17,22	0,26	14,98	0,57	14,46	0,64	7,80
Fe_2O_3 *	7,22	0,43	2,96	4,88	1,25	1,89	0,29	2,18	0,25	1,83	2,03	0,03	1,70	0,20	6,65	0,81	3,19	0,31	2,81	0,60	6,74
MgO	1,77	1,09	0,77	1,34	0,40	0,32	0,09	0,46	0,09	0,23	0,49	0,04	0,25	0,19	2,26	0,53	0,93	0,32	0,47	0,25	3,57
MnO	0,05	0,04	0,03	0,04	0,01	0,01	0,01	0,05	0,09	0,01	0,01	0,00	0,02	0,01	0,06	0,03	0,02	0,01	0,03	0,02	0,11
* CaO	0,30	0,14	0,38	0,42	0,28	0,56	0,19	0,40	0,07	0,44	0,59	0,20	0,47	0,06	2,42	0,87	0,99	0,53	1,37	0,87	3,27
Na_2O	0,61	0,21	1,71	1,13	0,96	2,90	0,42	2,72	0,36	3,03	2,37	0,05	3,79	0,88	4,14	0,42	2,99	0,34	3,43	0,29	3,25
K_2O	5,20	0,84	4,72	4,17	0,44	5,00	0,63	4,79	0,58	5,80	5,16	0,36	3,73	1,47	2,40	0,42	4,52	0,48	5,07	1,05	3,37
P_2O_5	0,18	0,10	0,08	0,15	0,09	0,07	0,05	0,11	0,04	0,08	0,16	0,01	0,04	0,01	0,88	1,23	0,17	0,03	0,10	0,04	0,25
M.V.	2,94	0,70	1,60	2,21	0,96	0,95	0,56	1,47	0,52	1,11	1,91	0,76	0,88	0,70	1,26	0,37	1,30	0,14	0,85	0,35	1,47

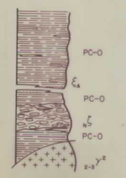
Análisis realizados por el Departamento de Petrología y Geoquímica. Universidad de Salamanca
*Fe Total

CORTES



Escala 1/50.000

COLUMNAS ESTRATIGRAFICAS EN LAS PRINCIPALES UNIDADES O ZONAS



Escala 1/5000